

least-squares weighting scheme for the refinement is (normalization factor/profile intensity + background). Data collection was performed with in-house software. Cell refinement and structure refinement were performed with *REFCEL* and *MPROF* of *PDPL* (Murray, Cockcroft & Fitch, 1990). *CERIUS* software (Molecular Simulations) was used for molecular graphics.

We acknowledge the use of the SERC-funded Chemical Database Service at Daresbury and also thank the SERC for the award of synchrotron beamtime. AMTB wishes to thank Brian McMahon and Mike Hoyland of the IUCr, Chester, for help in generating a CIF format for powder diffraction structures.

Lists of raw powder data and complete geometry have been deposited with the IUCr (Reference: BR1072). Copies may be obtained through The Managing Editor, International Union of Crystallography, 5 Abbey Square, Chester CH1 2HU, England.

References

- Beger, R. M. (1969). *Z. Kristallogr.* **129**, 280–302.
 Bell, A. M. T., Henderson, C. M. B., Redfern, S. A. T., Cernik, R. J., Champness, P. E., Fitch, A. N. & Kohn, S. C. (1994). *Acta Cryst. B50*, 31–41.
 Bell, A. M. T., Redfern, S. A. T., Henderson, C. M. B. & Kohn, S. C. (1994). *Acta Cryst. B50*. In the press.
 Cernik, R. J., Murray, P. K., Pattison, P. & Fitch, A. N. (1990). *J. Appl. Cryst.* **23**, 292–296.
 Murray, A. D., Cockcroft, J. K. & Fitch, A. N. (1990). *Powder Diffraction Program Library (PDPL)*. Univ. College, London.
 Rietveld, H. M. (1969). *J. Appl. Cryst.* **2**, 65–71.
 Torres-Martinez, L. M. & West, A. R. (1986). *Z. Kristallogr.* **175**, 1–7.
 Torres-Martinez, L. M. & West, A. R. (1989). *Z. Anorg. Allg. Chem.* **573**, 223–230.
 Young, R. A., Prince, E. & Sparks, R. A. (1982). *J. Appl. Cryst.* **15**, 357–359.

Acta Cryst. (1994). **C50**, 986–988

Un Monophosphate de Magnésium et de Sodium

J. YAMAKAWA, T. YAMADA ET A. KAWAHARA

Laboratoire de Minéralogie,
 Département des Sciences de la Terre,
 Faculté des Sciences, Université d'Okayama,
 Tsushima-Naka 3-I-1, Okayama 700, Japon

(Réçu le 29 septembre 1993, accepté le 28 octobre 1993)

Abstract

The title compound, magnesium sodium phosphate, $\text{Mg}_5\text{Na}_2(\text{PO}_4)_4$, belongs to a group of monophosphates which are constructed from five kinds of

coordination polyhedra: two kinds of PO_4 tetrahedra are connected by one type of Mg–O octahedra situated at the centres of symmetry; distorted five-coordinated Mg–O polyhedra and another type of distorted Mg–O octahedra are in general positions. Na–O polyhedra occupy the cavities formed by these five types of coordination polyhedra. The density, D_x , of this compound is 3.00 Mg m^{-3} , reflecting the high-pressure synthesis. Similar compounds precipitated at 1 atm. (101.325 kPa) have densities of 2.55 – 2.82 Mg m^{-3} , corresponding to the lower pressure condition.

Commentaire

Cette étude vise la contribution à la compréhension systématique des structures des monophosphates. Ghorbel, d'Yvoire & Dorémieux-Morin (1974) ont fait la synthèse des trois composés: $\text{MgNa}_4(\text{PO}_4)_2 \cdot \text{H}_2\text{O}$ et $\text{MgNa}_4(\text{PO}_4)_2\text{-}\alpha$ et $\text{-}\gamma$. La relation structurale entre elles a été étudiée à l'aide de la diffraction des rayons X sur poudre à hautes températures. Ben Amara, Vlasse, Olazcuaga, Le Flem & Hagenmuller (1983) ont déterminé la structure de $\text{Mg}_4\text{Na}(\text{PO}_4)_3$. Nous donnons dans cet article la structure d'une nouvelle phase obtenue par synthèse hydrothermale.

La densité de ce produit est 3.00 Mg m^{-3} , nettement supérieure à 2.55 – 2.56 Mg m^{-1} de $\text{MgNa}_4(\text{PO}_4)_2\text{-}\alpha$ et $\text{-}\gamma$ (Ghorbel *et al.*, 1974) et de 2.82 Mg m^{-3} pour $\text{Mg}_4\text{Na}(\text{PO}_4)_3$ (Ben Amara *et al.*, 1983). La densité élevée de notre produit refléterait la condition de la synthèse.

Le résultat de la détermination de la structure de notre produit est illustré par une image stéréographique dans la Fig. 1 et par la représentation dans la Fig. 2. Il existe trois positions pour les atomes de Mg: Mg(1) et Mg(2) se trouvent aux positions générales et entouré respectivement de six et cinq atomes d'O. Mg(3) est situé au centre du symétrie avec les coordinances tordues octaédriques. Ces trois sortes de polyèdres de Mg sont liés aux deux sortes de tétraèdres isolés du P en mettant en commun leurs coins des atomes d'O. Les polyèdres de Na se trouvent aux interstices des polyèdres de Mg et de P.

Les distances Mg–O moyennes correspondant aux trois sortes de Mg polyèdres sont: 2,102, 2,026 et 2,120 Å, compatible au résultat antérieur (2,023, 2,076 et 2,080 Å; Ben Amara *et al.*, 1983). Les valeurs moyennes de la distance P–O sont 1,538 et 1,535 Å pour les deux sortes de tétraèdres de PO_4 (1,526, 1,538 et 1,538 Å; Ben Amara *et al.*, 1983), qui sont en accord avec 1,536 Å obtenue par Corbridge (1971). Les indices de distortion $[d(M\text{--O})_{\max} - d(M\text{--O})_{\min}] / \langle d(M\text{--O}) \rangle$ pour polyèdre de Mg–O sont 0,088, 0,088 et 0,138 (les résultats antérieurs: 0,071, 0,097 et 0,142) et pour les tétraèdres de PO_4

0,025 et 0,040 (les résultats antérieurs: 0,015 et 0,043), (Ben Amara *et al.*, 1983). Il semble significative que les deux polyèdres de Mg-O ont les indices de distortion relativement petits par rapport au troisième ainsi que les deux tétraèdres de PO₄ manifestent les mêmes tendances par rapport au résultat antérieur, c'est-à-dire, cela se refléterait au fait que les distributions des tensions internes sont presque identiques dans les deux sortes de cristaux.

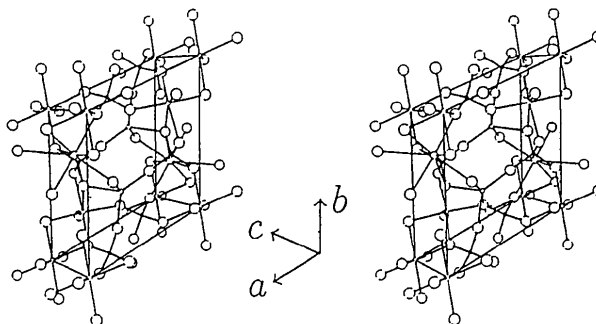


Fig. 1. L'image stéréographique de Mg₅Na₂(PO₄)₄. Les petits cercles remplis représentent les atomes P et les grands cercles les atomes O. Les grands cercles cationiques correspondent aux atomes Na.

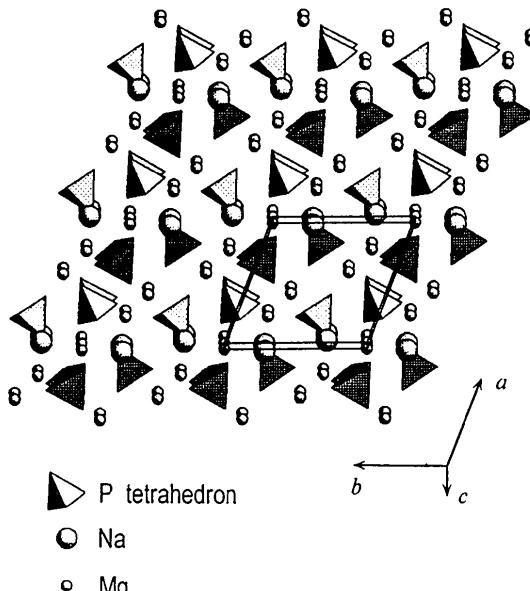


Fig. 2. Représentation de la structure de Mg₅Na₂(PO₄)₄ (ATOMS; Dowty, 1992).

Partie expérimentale

Nous avons préparé un mélange de Na₂HPO₄, MgSO₄.7H₂O et MgCO₃ avec un rapport en moles de 1:1:4. Environ 100 mg de ce mélange et 300 µl d'eau pure ont été introduits dans un tube

d'argent ayant un diamètre de 3 mm. Après mises en place de ces produits, le tube est fermé et soudé pour réaliser l'étanchéité à hautes pressions. Le tube est placé dans un autoclave de type Tuttle et chauffé à 673 K avec une pression intérieure de 100 MPa. Après ce traitement thermique, l'autoclave a été refroidi avec une vitesse de 1 K par 20 min. Le produit cristallin a été examiné avec une microsonde électronique Jeol JXA, qui a montré qu'il s'agit d'un composé ayant une composition Mg₅Na₂(PO₄)₄ qui diffère de résultat des auteurs précédents.

Données cristallines

Mg₅Na₂(PO₄)₄

M_r = 547,39

Triclinique

*P*1

a = 7,923 (2) Å

b = 8,124 (2) Å

c = 5,160 (1) Å

α = 90,41 (2)°

β = 101,92 (1)°

γ = 110,71 (1)°

V = 302,8 (1) Å³

Z = 1

D_x = 3,00 Mg m⁻³

Mo *K*α radiation

λ = 0,71069 Å

Paramètres de la maille à l'aide de 25 réflexions

θ = 13,5–27,5°

μ = 1,075 mm⁻¹

T = 297 K

Prismatique

0,17 × 0,12 × 0,12 mm

Incolore

Collection des données

Diffractomètre Rigaku

AFC-5R

Baylage ω

1495 réflexions mesurées

1495 réflexions indépendantes

1233 réflexions observées [*F* > 3*σ*(*F*)]

θ_{\max} = 27,5°

h = 0 → 10

k = -11 → 11

l = -7 → 7

3 réflexions de référence
fréquence: 150 min
variation d'intensité:

0,49%

Affinement

Affinement basé sur les *F*

R = 0,036

wR = 0,040

S = 1,19

1233 réflexions

124 paramètres

w = 1

(Δ/σ)_{max} = 0,18

$\Delta\rho_{\max}$ = 0,62 e Å⁻³

$\Delta\rho_{\min}$ = -0,51 e Å⁻³

Facteurs de diffusion des
*International Tables for
X-ray Crystallography*
(1974, Tome IV)

Tableau 1. Coordonnées atomiques et facteurs d'agitation thermique isotrope équivalents (Å²)

	<i>x</i>	<i>y</i>	<i>z</i>	<i>B_{eq}</i>
P(1)	0,6977 (1)	0,9730 (1)	0,3801 (2)	0,39 (2)
P(2)	0,2125 (1)	0,4299 (1)	0,1305 (2)	0,44 (2)
Mg(1)	0,2553 (2)	0,7812 (2)	0,0937 (2)	0,55 (3)
Mg(2)	0,5908 (2)	0,3287 (2)	0,3639 (3)	0,62 (3)
Mg(3)	0	0	0	0,66 (5)
Na(1)	0,9624 (3)	0,7051 (2)	0,4379 (3)	1,40 (5)
O(1)	0,1859 (4)	0,5623 (3)	0,3250 (5)	0,71 (7)
O(2)	0,9702 (4)	0,7333 (3)	0,9332 (5)	0,61 (7)
O(3)	0,6729 (4)	0,1354 (3)	0,2430 (5)	0,67 (7)
O(4)	0,7831 (4)	0,0331 (4)	0,6795 (5)	0,69 (7)
O(5)	0,6310 (4)	0,6236 (4)	0,7326 (6)	1,33 (8)
O(6)	0,4924 (4)	0,1739 (3)	0,6580 (5)	0,61 (7)
O(7)	0,1703 (4)	0,0817 (4)	0,7439 (5)	0,89 (7)
O(8)	0,2477 (4)	0,5298 (4)	0,8851 (5)	0,92 (7)

Tableau 2. Paramètres géométriques (\AA , $^\circ$)

$Mg(1)-O(1)$	2,121 (3)	$Mg(3)-O(7^{\text{iv}})$	2,031 (3)
$Mg(1)-O(2^{\text{i}})$	2,131 (3)	$Mg(3)-O(7^{\text{vi}})$	2,031 (3)
$Mg(1)-O(3^{\text{ii}})$	1,988 (3)	$Na(1)-O(1^{\text{viii}})$	2,587 (4)
$Mg(1)-O(4^{\text{iii}})$	2,046 (4)	$Na(1)-O(1^{\text{iii}})$	2,534 (3)
$Mg(1)-O(6^{\text{iii}})$	2,047 (3)	$Na(1)-O(2^{\text{iv}})$	2,627 (3)
$Mg(1)-O(8^{\text{iv}})$	2,278 (4)	$Na(1)-O(2)$	2,551 (3)
$Mg(2)-O(1^{\text{iii}})$	2,047 (3)	$Na(1)-O(3^{\text{ix}})$	2,845 (3)
$Mg(2)-O(3)$	2,038 (4)	$Na(1)-O(4^{\text{ix}})$	2,539 (4)
$Mg(2)-O(5^{\text{ii}})$	1,900 (4)	$Na(1)-O(7^{\text{iii}})$	2,427 (4)
$Mg(2)-O(6)$	2,078 (3)	$Na(1)-O(8^{\text{iii}})$	2,398 (3)
$Mg(2)-O(8^{\text{ii}})$	2,066 (3)	$P(1)-O(3^{\text{x}})$	1,555 (3)
$Mg(3)-O(2^{\text{ii}})$	2,112 (3)	$P(1)-O(4^{\text{x}})$	1,551 (3)
$Mg(3)-O(2^{\text{v}})$	2,112 (3)	$P(1)-O(6^{\text{ii}})$	1,528 (2)
$Mg(3)-O(4^{\text{i}})$	2,218 (3)	$P(1)-O(7^{\text{ii}})$	1,517 (4)
$Mg(3)-O(4^{\text{vi}})$	2,218 (3)	$O(5^{\text{ii}})-P(2)-O(8^{\text{iv}})$	114,2 (2)
$O(3^{\text{x}})-P(1)-O(4^{\text{x}})$	107,1 (2)	$O(2^{\text{ii}})-P(2)-O(5^{\text{iii}})$	109,9 (2)
$O(3^{\text{x}})-P(1)-O(6^{\text{ii}})$	108,5 (2)	$O(2^{\text{ii}})-P(2)-O(8^{\text{iv}})$	112,0 (1)
$O(3^{\text{x}})-P(1)-O(7^{\text{iii}})$	107,9 (2)	$O(5^{\text{ii}})-P(2)-O(8^{\text{iv}})$	114,2 (2)
$O(4^{\text{x}})-P(1)-O(6^{\text{ii}})$	110,7 (2)	$O(1)-P(2)-O(2^{\text{ii}})$	106,9 (2)
$O(4^{\text{x}})-P(1)-O(7^{\text{iii}})$	110,2 (2)	$O(1)-P(2)-O(5^{\text{ii}})$	108,8 (2)
$O(6^{\text{ii}})-P(1)-O(7^{\text{iii}})$	112,3 (2)	$O(1)-P(2)-O(8^{\text{iv}})$	104,8 (2)
$O(1)-P(2)-O(2^{\text{ii}})$	106,9 (2)	$O(2^{\text{ii}})-P(2)-O(5^{\text{ii}})$	109,9 (2)
$O(1)-P(2)-O(5^{\text{ii}})$	108,8 (2)	$O(2^{\text{ii}})-P(2)-O(8^{\text{iv}})$	112,0 (1)
$O(1)-P(2)-O(8^{\text{iv}})$	104,8 (2)	$O(5^{\text{ii}})-P(2)-O(8^{\text{iv}})$	114,2 (2)

Codes de symétrie: (i) $x - 1, y, z - 1$; (ii) $1 - x, 1 - y, -z$; (iii) $1 - x, 1 - y, 1 - z$; (iv) $x, y, z - 1$; (v) $x - 1, y - 1, z - 1$; (vi) $1 - x, -y, 1 - z$; (vii) $-x, -y, 1 - z$; (viii) $1 + x, y, z$; (ix) $2 - x, 1 - y, 1 - z$; (x) $x, 1 + y, z$.

La collecte des données, l'affinement de constantes de la maille et la réduction des données: *Rigaku AFC/MSC Diffractometer Control Program* (Rigaku Corporation, 1991). La synthèse de Patterson et de Fourier: *RSSFR-5, UNICS* (Sakurai, 1971). L'affinement par moindres carrés à matrice complètes: *RSFLS-4, UNICS*. Les distances interatomiques et les angles: *CCPC* (Kawamura & Kawahara, 1980). Le graphique: *ORTEP* (Johnson, 1971); *ATOMS* (Dowty, 1992). L'impression des tableaux de F_o et de σF_o : *LISHKL* (Yamakawa & Kawahara, 1992).

Les auteurs remercient Monsieur J. T. Iiyama, Professeur honoraire à l'Université de Tokio, Japon, pour les conseils qu'il nous a donnés à ce travail. Les intensités de la diffraction ont été mesurées au Laboratoire des rayons X à l'Université d'Okayama, Japon.

Les listes des facteurs de structure et des facteurs d'agitation thermique anisotrope ont été déposées aux dépôts d'archives de la British Library Document Supply Centre (Supplementary Publication No. SUP 71797: 11 pp.). On peut en obtenir des copies en s'adressant à: The Technical Editor, International Union of Crystallography, 5 Abbey Square, Chester CH1 2HU, Angleterre. [Référence de CIF: DU1066]

Références

- Ben Amara, M., Vlasie, M., Olazcuaga, R., Le Flem, G. & Hagenmuller, P. (1983). *Acta Cryst.* **C39**, 936–939.
 Corbridge, D. E. C. (1971). *Bull. Soc. Fr. Minéral. Cristallogr.* **94**, 271–299.
 Dowty, E. (1992). *ATOMS. A Computer Program for Displaying Atomic Structures*. 521 Hidden Valley Road, Kingsport, TN 37663, EU.
 Ghorbel, A., d'Yvoire, F. & Dorémieux-Morin, C. (1974). *Bull. Soc. Chim. Fr.* pp. 1239–1242.
 Johnson, C. K. (1971). *ORTEP*. Report ORNL-3794, revisé. Oak Ridge National Laboratory, Tennessee, EU.
 Kawamura, K. & Kawahara, A. (1980). *CCPC. Calculation of Coordination Polyhedra*. Communication privée.

Rigaku Corporation (1991). *AFC/MSC Diffractometer Control System*. Rigaku Corporation, Tokio, Japon.
 Sakurai, T. (1971). Editeur. *Universal Crystallographic System*. Société Cristallographique de Japon, Tokio, Japon.
 Yamakawa, J. & Kawahara, A. (1992). *LISHKL. Program for F_o and σF_o Tables*. Communication privée.

Acta Cryst. (1994). **C50**, 988–991

$SrZrSi_2O_7$

M. E. HUNTELAAR, E. H. P. CORDFUNKE
 AND P. VAN VLAANDEREN

Netherlands Energy Research Foundation ECN,
 PO Box 1, 1755 ZG Petten, The Netherlands

D. J. W. IJDO

Gorlaeus Laboratories, Leiden University,
 PO Box 9502, 2300 RA Leiden, The Netherlands

(Received 25 January 1993; accepted 5 August 1993)

Abstract

Rietveld refinement of strontium zirconium disilicate, $SrZrSi_2O_7$, using neutron powder diffraction data [$\lambda = 2.57167$ (3) \AA , $F(000) = 252.45$, $\mu R = 0.11$, 295 contributing reflections] resulted in $R_{wp} = 2.72\%$. The structure can be described as alternate layers, containing the ZrO_6 octahedra and formed by the Si_2O_7 groups, stacked parallel to [001]. Elongated cages are formed for Sr, which coordinates to give distorted SrO_8 dodecahedra. The Si_2O_7 groups are in a nearly eclipsed conformation. The title compound is isostructural with the high-temperature form of $NaFeP_2O_7$.

Comment

The silicates of strontium are of little or no geo-thermal interest and, therefore, have not been studied very carefully. Knowledge of strontium silicates, however, has become increasingly important as they may play a role in nuclear-safety studies. When, during very severe nuclear accidents, the reactor core has melted through the reactor vessel, the formation of strontium silicates may occur. The abundant presence of zirconium from the fuel cladding and silica in the concrete may lead to the formation of $SrZrSi_2O_7$.

$SrZrSi_2O_7$ is found in the pseudo-binary section $SrSiO_3$ – $ZrSiO_4$. The existence of $SrZrSi_2O_7$ was first reported by Ghanbari-Ahari & Brett (1988), who